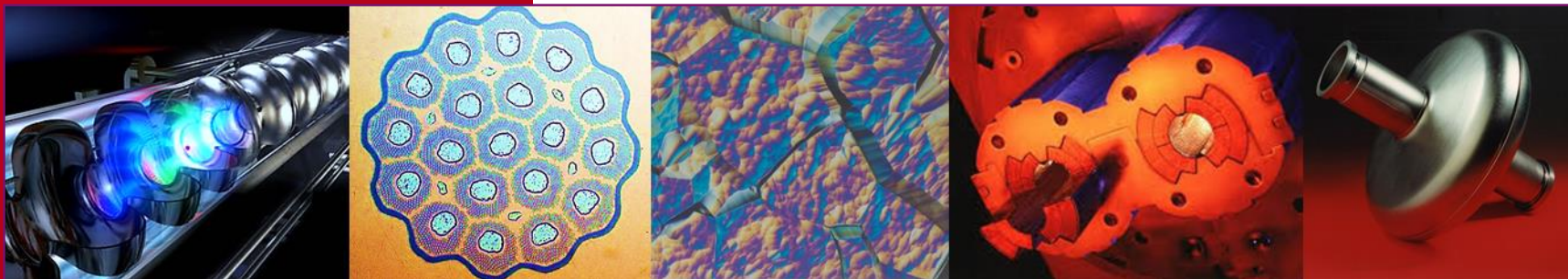


DE LA RECHERCHE À L'INDUSTRIE



# SUPRACONDUCTIVITÉ DANS ACCÉLÉRATEURS PARTIE I : INTRODUCTION



Cours supraconductivité M2 GI | Claire ANTOINE

[www.cea.fr](http://www.cea.fr)

AIMANTS ET CAVITÉS RF



## Objectifs de ce cours:

### ■ Peu de formules

■ Ça peut se trouver dans des livres, e.g. :

- A.C. Rose-Innes, "Introduction to superconductivity". Ed2. 2012: Elsevier
- M. Héritier, « physique de la matière condensée » [cours M2](#)
- [CERN accelerator Schools](#) (chercher « superconductivity »)...

### ■ Vous donner du sens physique

■ Qu'est-ce qui est important, dans quel contexte

- Ça varie beaucoup avec les applications

### ■ Vous donner du sens critique

■ Beaucoup de théories/modèles en supra (c'est un truc compliqué!):

- La littérature fourmille de calculs appliqués en dehors de leurs limites de validité,

### ■ Vous montrer qu'il faut faire des compromis

■ Les propriétés supras ne sont jamais les seules à prendre en compte dans le design d'un projet

- Antagonismes avec les propriétés mécaniques, thermiques....

*NB [Support de cours](#) sur page web perso, rubrique enseignement*

## Chapitre 01 : introduction

Où trouve-t'on la supra ? Pourquoi ?	pp.07-09
Éléments de coûts	p.10

## Chapitre 02 : Bases

Supraconductivité,	pp.12-13
Supras type I et II, état Meissner	pp.14-15
Etat mixte et vortex	p.16
Diagrammes de phase	pp.17-20

## Chapitre 03 : Les différentes théories

Les théories en résumé	pp.21-23
Modèle de London	pp.24-25
Modèle de Ginzburg-Landau, longueurs caractéristiques	pp.26-31
Éléments de la théorie BCS	p.32
Comportement en AC/RF	p.33



## Chapitre 01 : Etat mixte

Pourquoi les vortex sont-ils si important ? p.0

## Chapitre 02 : Les vortex (I) : pénétration dans le SC

Bilan énergétique, barrière de surface pp.07-08

Effets géométriques pp.09-10

Effets des défauts de surface pp.11-13

Présence d'un champ électrique ou d'un courant pp.15-16

## Chapitre 03 : : Les vortex (II) : ancrage

Ancrage et défauts cristallins pp.18-19

Forces mises en jeu pp.20-21



## Chapitre 04 : Application aimants

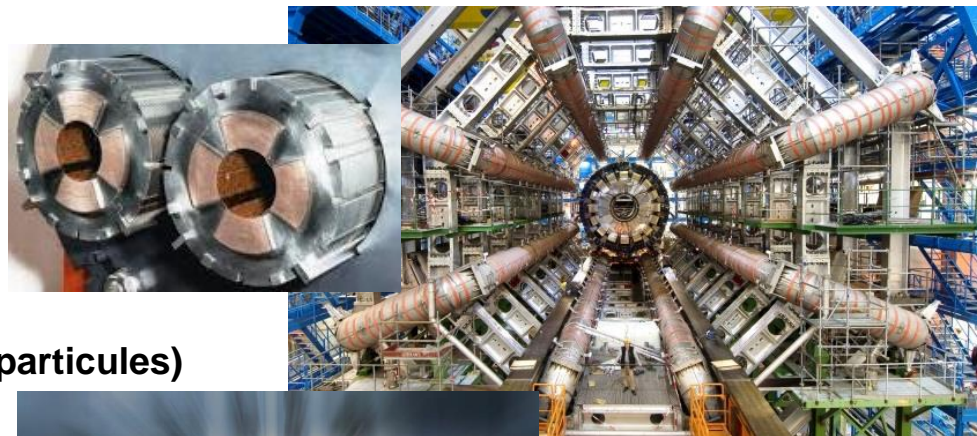
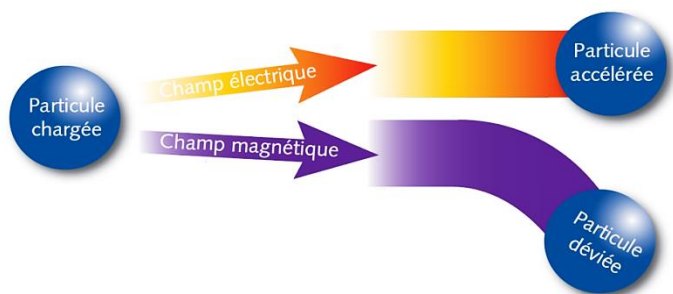
Développements microscopique des conducteurs	pp.23-26
Autres éléments : taille, refroidissement,,	pp.27-28
Design : pas seulement une question de supra	pp.29-30

## Chapitre 05 : Applications cavités SRF

Cavités SRF: pas les meilleurs paramètres supra !	pp.31-32
Ancrage inefficace : rester à l'état Meissner	p.33
Matériau quasi parfait sur et sous la surface	pp.34-35
Les défauts en « SRF »	pp.34-35
Concilier tous les aspects	p.38
Après le niobium	pp.39-41

## Conclusion

# INTRODUCTION



## ■ Aimants (pour courber la trajectoire des particules)

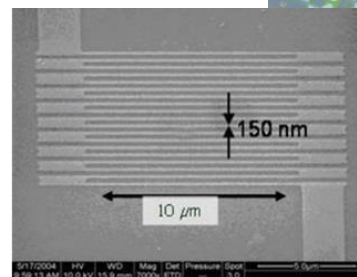
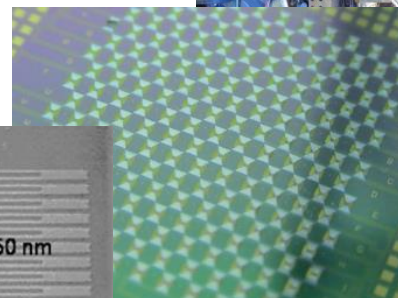
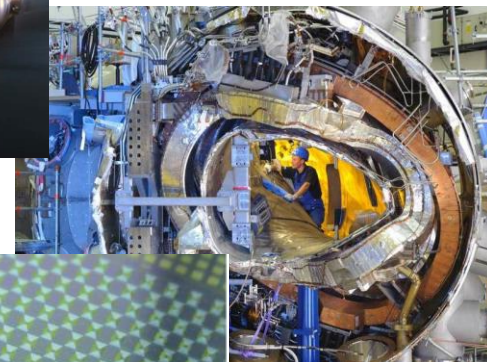
- Aimant de courbure, de focalisation
- Détecteurs

## ■ Cavités RF (pour accélérer)



## ■ Autres applications à connaître

- Aimants pour l'imagerie médicale (origine du développement)
- Aimants pour la fusion
- Electrotechnique (très grands enjeux !!!)
- Jonctions Josephson
  - Électronique supra (logique RSFQ)
  - SQUIDS
    - Détection de champ magnétique
    - Bolomètres
- Nanodétecteurs (constrictions, fils...)



*Pour faire passer qqs 10 000 A :*

*Câble en cuivre*

*Câble NbTi (refroidi à l'hélium)*



## Aimants

### ■ Exemples

#### ■ LHC @ CERN : aimant NbTi :

- 27 km circonférence, consommation ~1 centrale thermique (seult consommation cryogénique).
- Si aimants = Cu (+Fe) : 100 km de circonférence, consommation ~4 centrales,

#### ■ Dans les détecteur : permet d'augmenter la « transparence »

- Aimant pour courber trajectoires. Volume occupé /aimant => pas d'elt de détection

## Cavités RF

### ■ C'est plus compliqué, dépend bcp du cycle utile

- Seule supra peut atteindre C.U. de 1 (puissance 100% du temps)

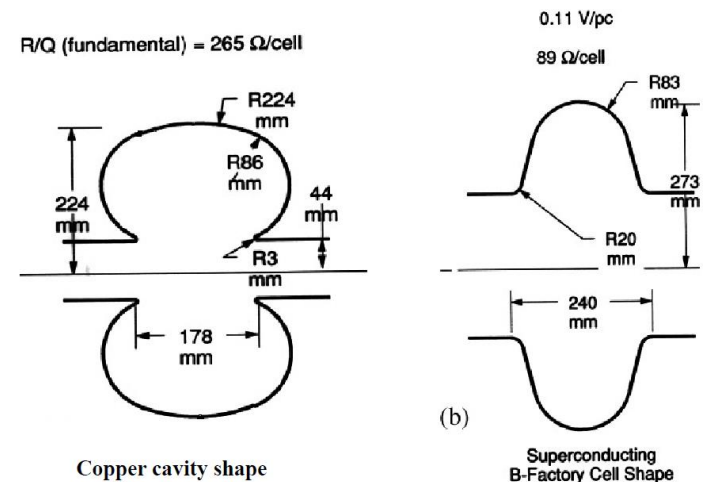
### ■ Exemple

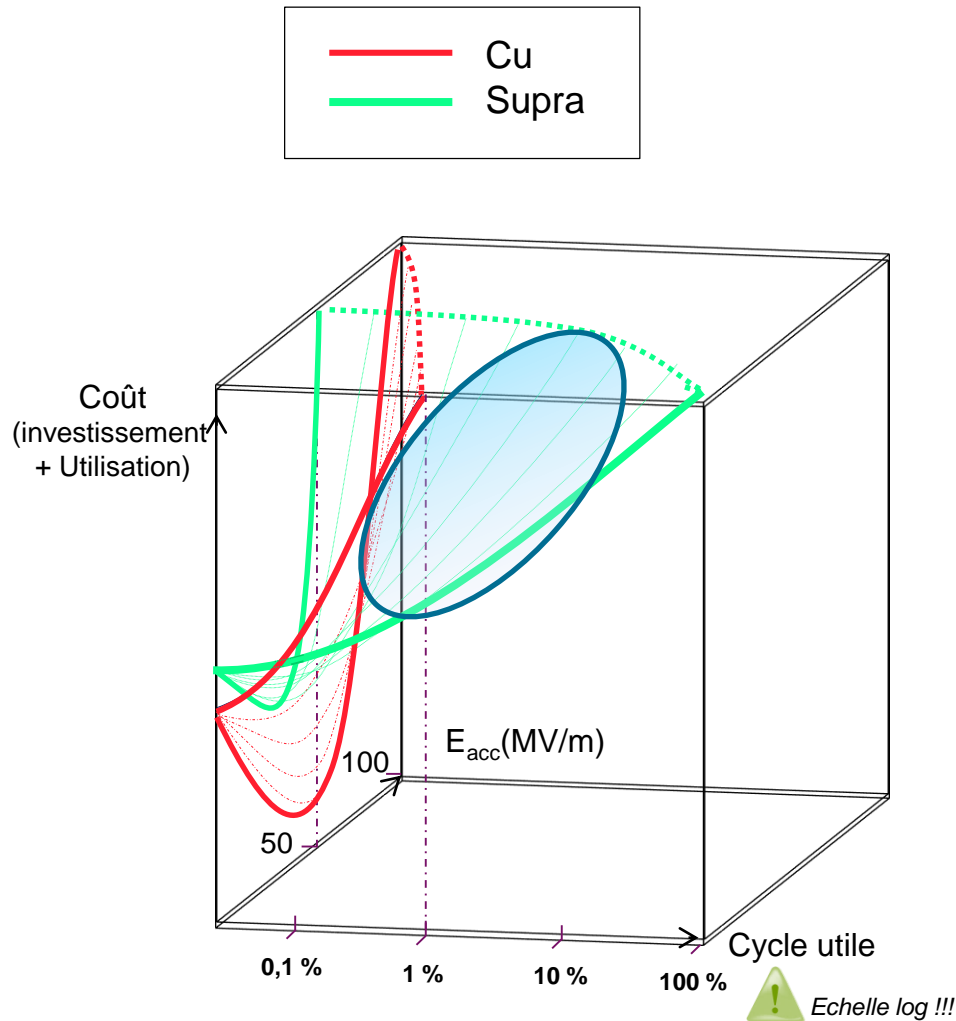
- Linac à protons (sources de neutrons):

### ■ Autre avantage

- Ouverture + grande => plus faible impédance => alignement + facile et réduction du champ de sillage / meilleure émittance

	Cuivre	Niobium (SC)
Résistance de surface du matériau : $R_s$	7m $\Omega$	10n $\Omega$
Champ accélérateur envisageable : $E_{acc}$	1,6 MV/m	10 MV/m
Efficacité RF $h_{RF} = P_{beam} / (P_{beam} + P_{cav})$	15%	100%
Efficacité cryogénique ( $h_{cryo} = h_{Carnot} \times h_{thermo}$ avec $h_{Carnot} = T_{froid} / (T_{chaud} - T_{froid})$ )	100%	0,2%
Efficacité globale $P_{fournie\ au\ faisceau} / P_{à\ la\ prise}$	7.5%	49%
Longueur réelle pour gagner 1 GeV	833m	286m





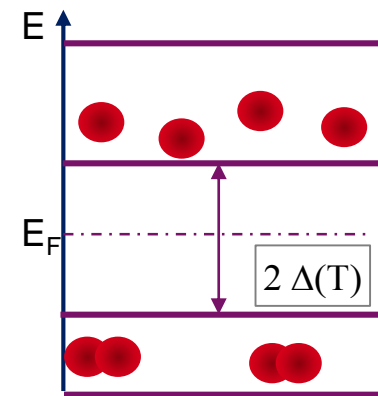
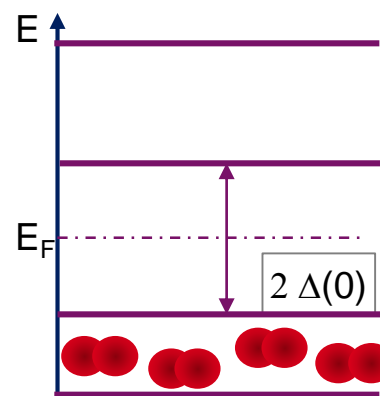
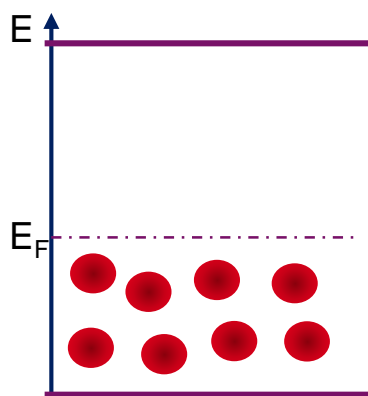
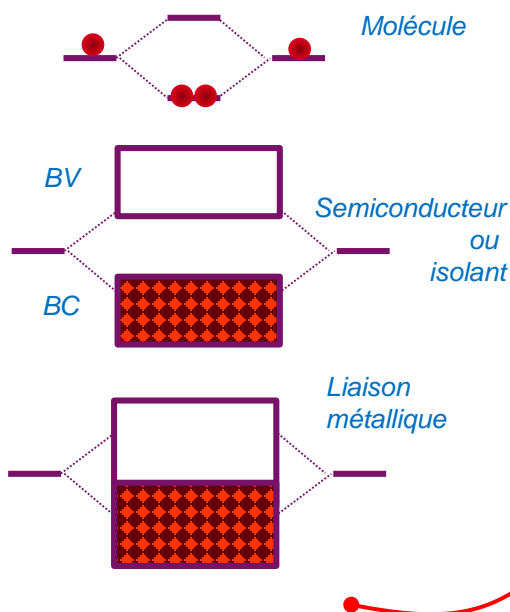
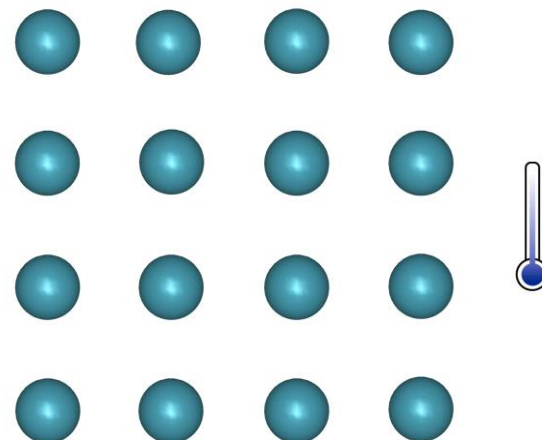
(pour E, I donnés)

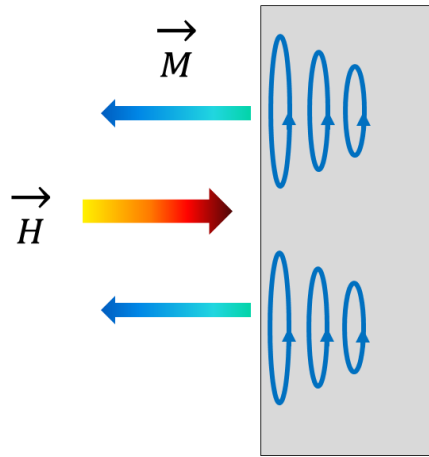
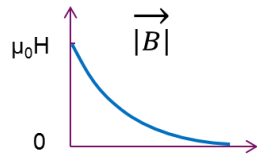
- coûts ↑ avec C.U.
- ∃ champ accel. Optimum
  - Faible champ => accélérateur + long => coûts ↑
  - Fort champ => coûts RF ↑ pour cuivre et coûts cryogéniques ↑ pour supra
- Autre exemple : CLIC vs ILC  
(collisionneurs e+/e- usines à Higgs)
  - ILC : C.U. = 0,5 % @ 1,3 GHz
  - CLIC : C.U. = 0,001 % @ 12 GHz

# BASES

## Principe simplifié :

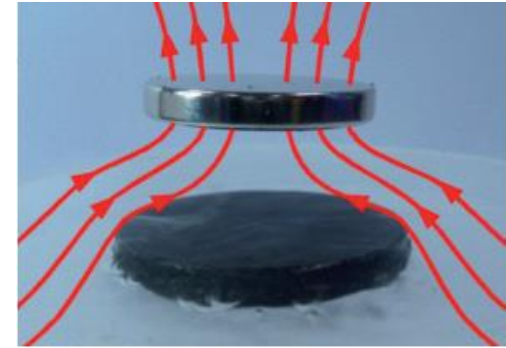
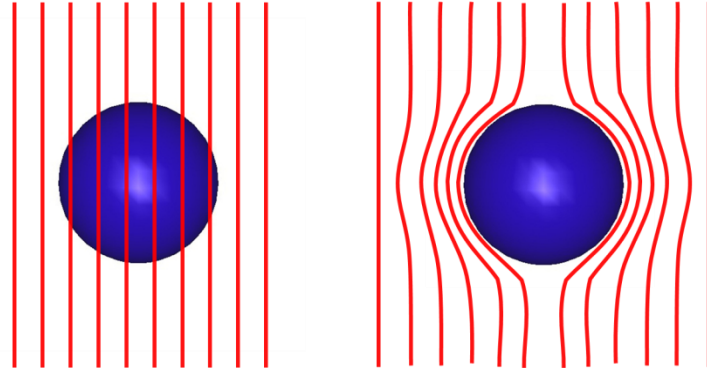
- Couplage via les phonons
- e- seuls= fermions, paires de Cooper = bosons
- Condensation (type Bose-Einstein) + ouverture d'un gap
- 1! Fonction d'onde pour tous les e- appariés : état cohérent dimension macro
- $R=0$  ( ⚠ : pas toujours vrai !!!)



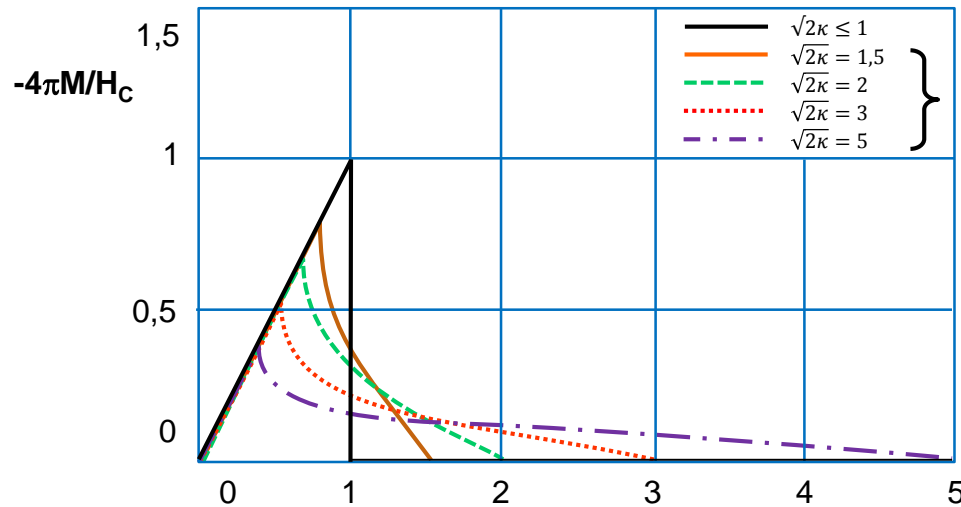


$\lambda \sim 50 \text{ nm (Nb)}$   
Supercourants  $\gg \text{GA/m}^2$

$$\vec{B} = \mu_0 (\vec{H} + \vec{M}) = 0$$



Lévitation magnétique



Type I

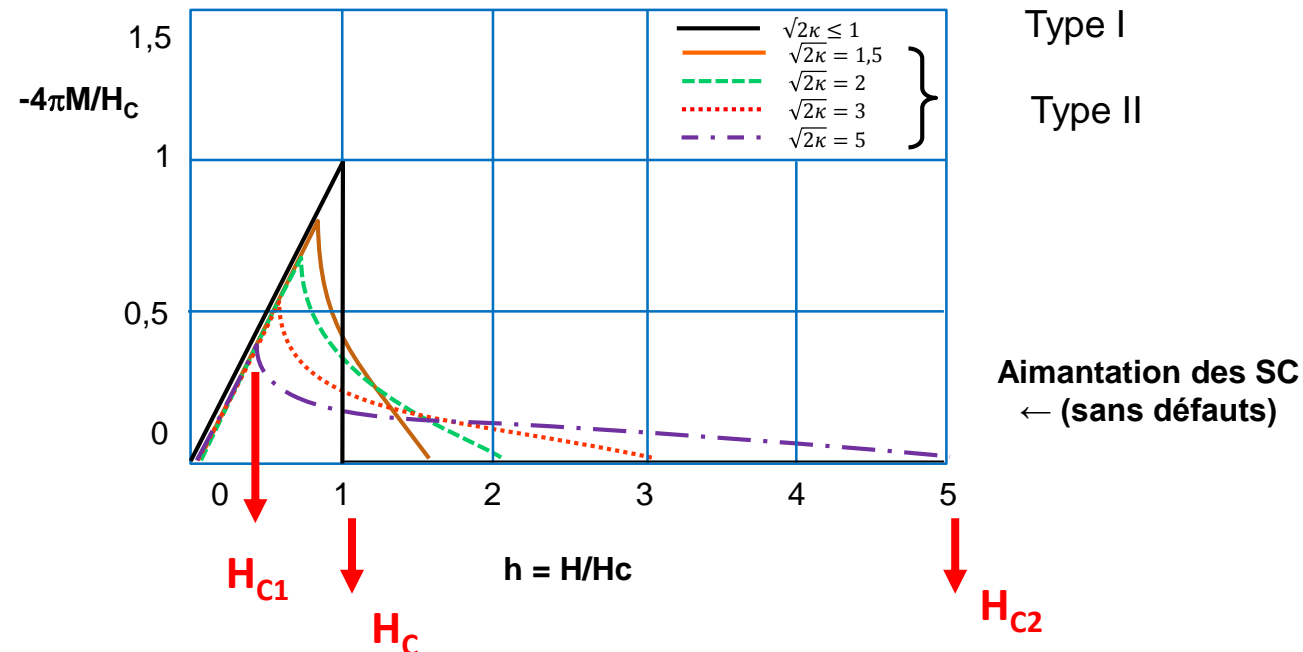
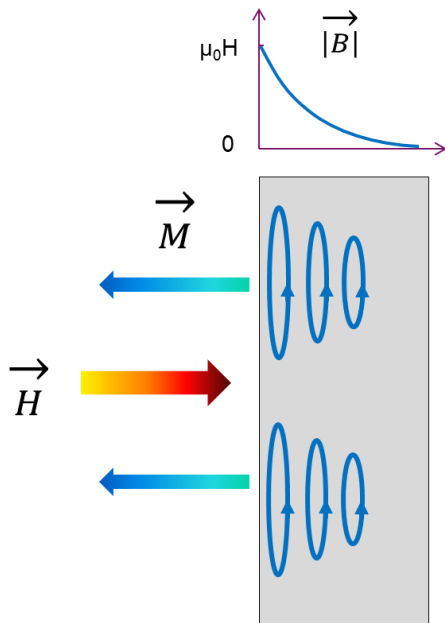
Type II

*K : grandeur caractéristique d'un supra (voir + loin)*

**Aimantation des SC**  
← (sans défauts)

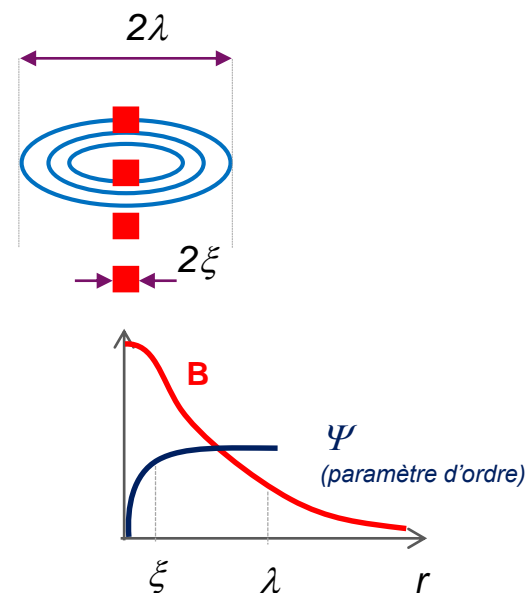
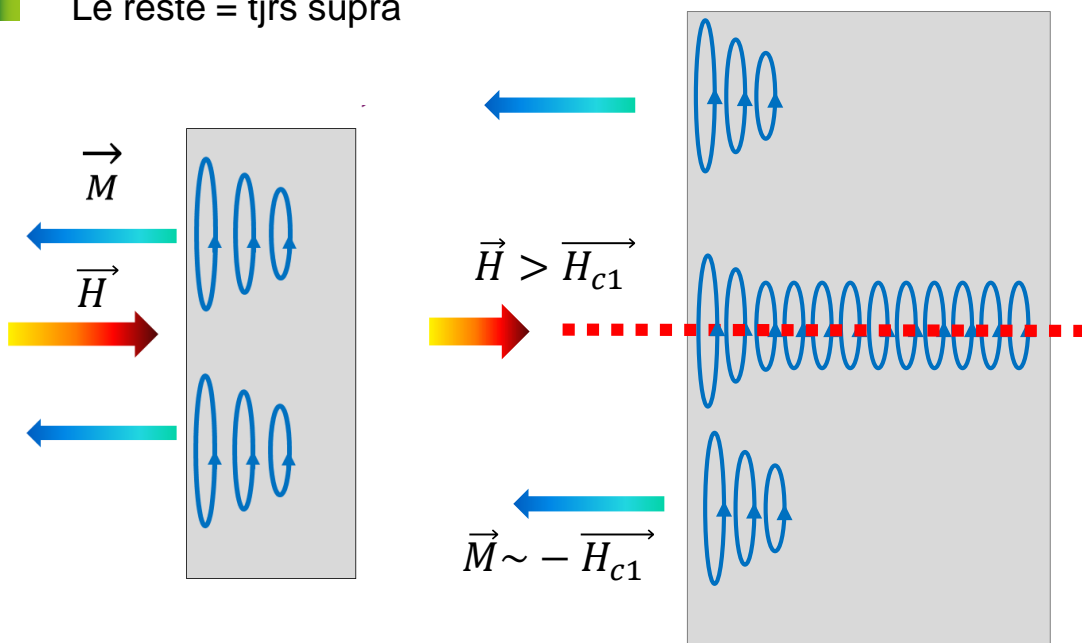
## Paramètres importants:

- $H_C$  : champ critique thermodynamique (intrinsèque)
- $H_{C1}$  : 1er champ critique (transition état Meissner => état mixte, dépend de l'état du matériau)
- $H_{C2}$  : 2nd champ critique (transition état mixte => état normal, dépend de l'état du matériau)
- $\kappa : \lambda/\xi$ , paramètre de Ginzburg-Landau (dépend de l'état du matériau, indépendant de T)
- $\lambda$  : profondeur de pénétration du champ,  $\xi$  longueur de cohérence des paires de Cooper (voir suite)



## Etat mixte : au - dessus de $H_{c1}$

- Le champ n'est plus totalement écranté
- Des lignes de champ pénètrent dans le matériau => zone normale (également) entourée de courants d'écrantage (= vortex)
- Le reste = tjrs supra



- Chaque vortex porte 1! Quantum de flux  $\Phi_0$
- Suppression de  $\Delta(r)$  pour  $r < \xi$  car  $J(r)$  atteint  $J_D$
- Courants d'écrantages sur  $r < \lambda$

**NB : ne pas confondre état *intermédiaire* des supras type I (coexistence de zones normales et supra, sans vortex) avec l'état *mixte* des supras type II**

$$\Phi_0 = h/(2e) = 2,06783376 \times 10^{-15} \text{ Weber (T/m}^2\text{)}$$

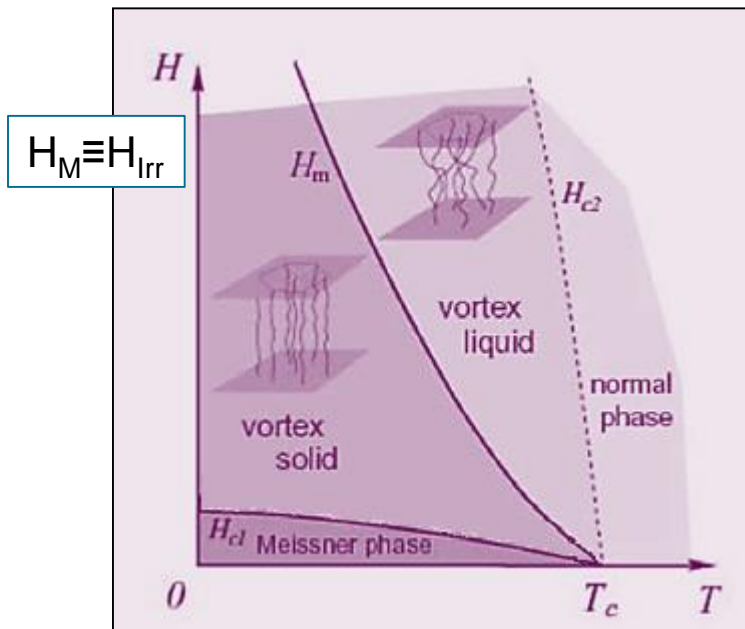
## ■ Supra type II : 3 Phases

- Etat Meissner ( $B=0$ )
- Etat mixte (supra + vortex ( $B \neq 0$ ))
- Etat normal conducteur

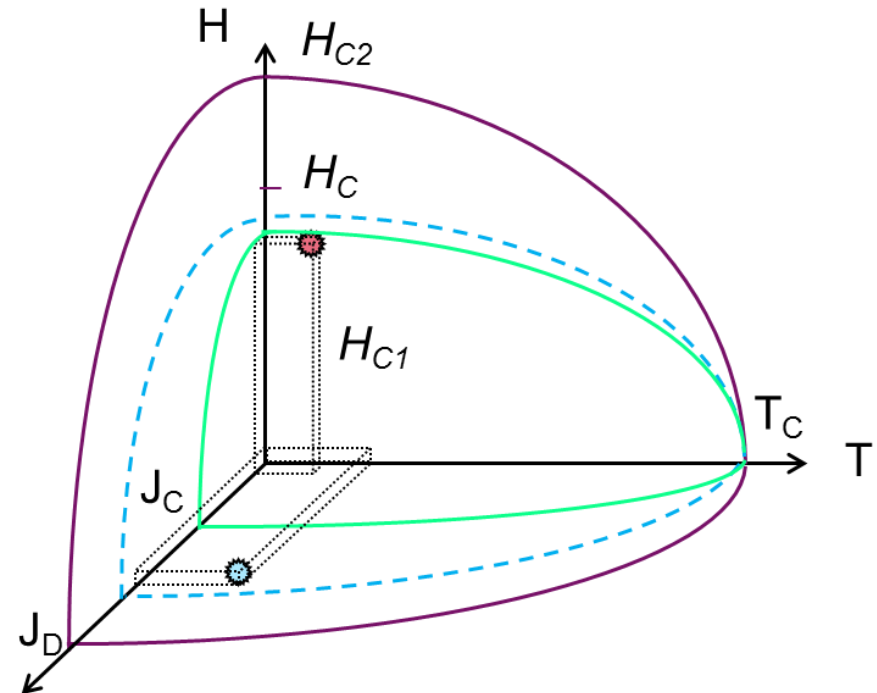
NB :  $J_D$  courant de désappariement  
(intrinsèque)

$\neq J_C$  courant critique (limite technique en DC)

$J_c$  n'a pas de sens en RF (voir partie II)

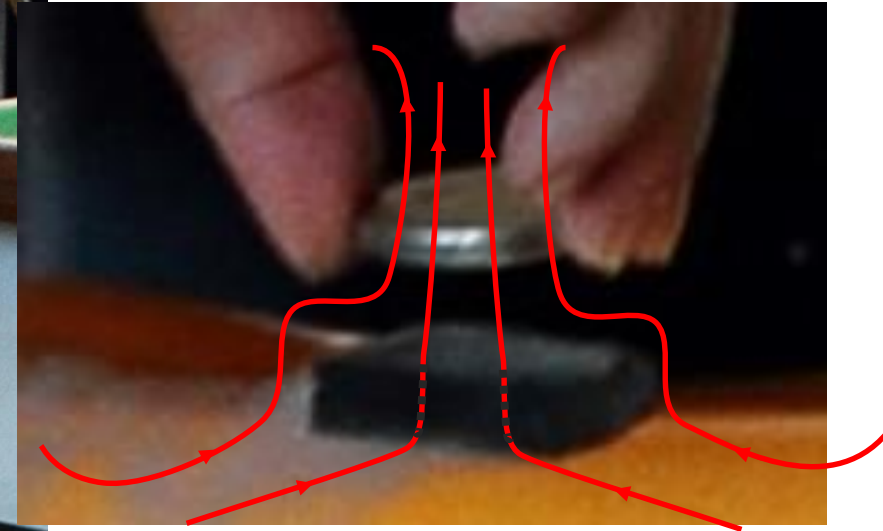
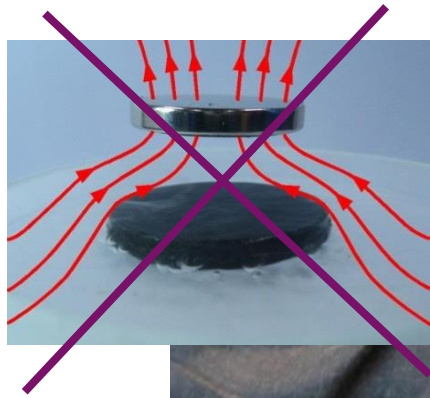


C. ANTOINE



## ■ Vortex

- forment un réseau hexagonal centré
- peuvent d'ancrer sur des défauts (voir + loin)
- peuvent présenter  $\neq$  états
- $H > H_M \Rightarrow R \neq 0$



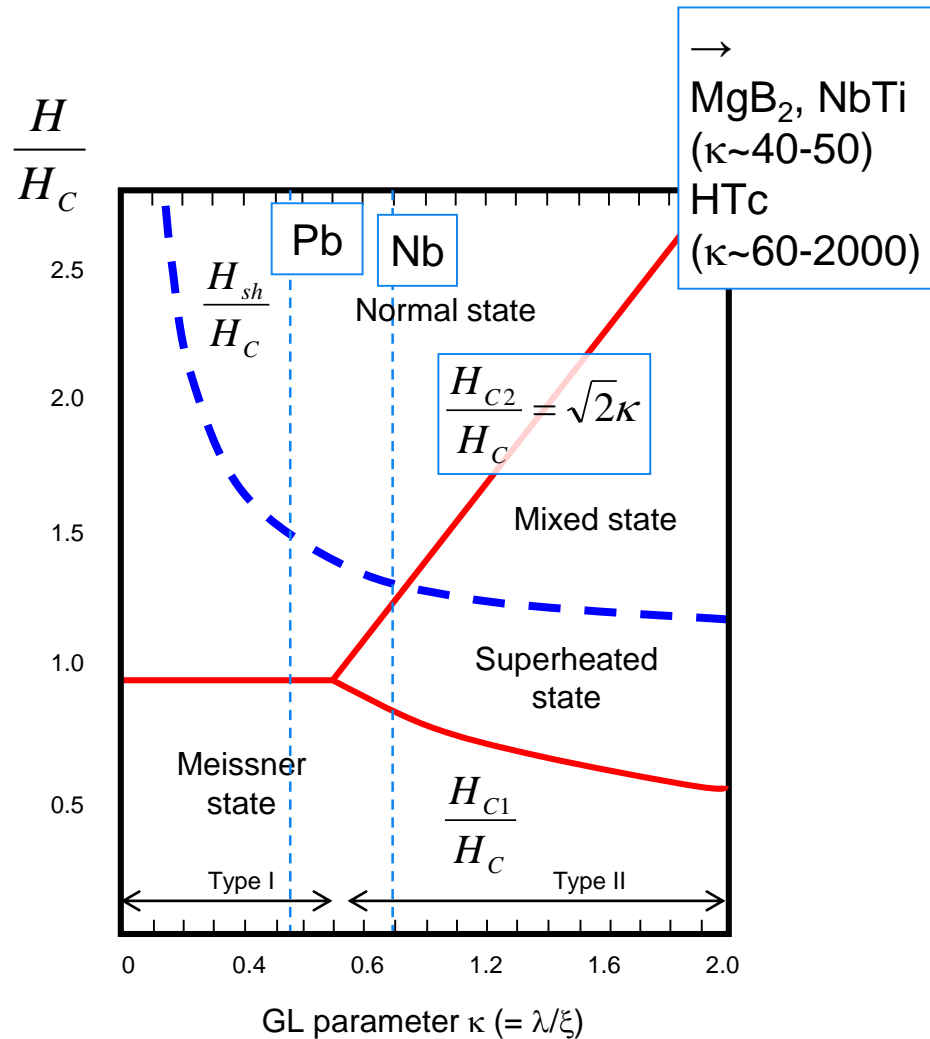
## ■ **Mouvement $\equiv \Delta H$**

- supercourants génèrent -  $\Delta M$
- s'oppose au changement de position
- ramène le supra dans la position « figée » au moment du refroidissement

<http://hebergement.u-psud.fr/supraconductivite/videossupra.html>

## Applications...

- ∃ des milliers de supra
- Dans la pratique
  - <10 utilisés
  - Supras conventionnels type II :  $H_{C1}$  faibles et  $H_{C2}$  élevés => état mixte... **Sauf Nb !** (appli. RF)
  - E. Mixte décrit par modèles phénoménologiques (GL et GLAG)
  - ⚠ approximations valables seult à  $T \sim T_c$
  - « superheating field » = état métastable (voir § « RF »)



## OTHER SUPERCONDUCTORS ?

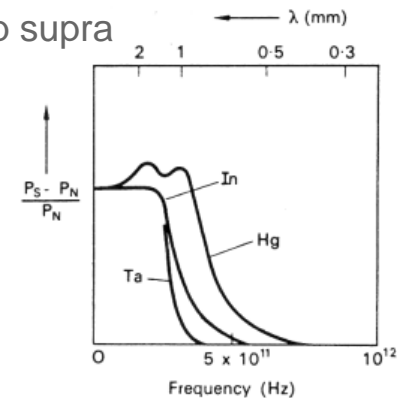
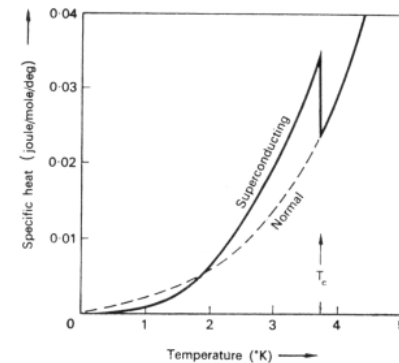


Material	$T_C$ (K)	$\rho_n$ ( $\mu\text{Wc}$ m)	$\mu_0 H_{C1}$ (mT)*	$\mu_0 H_{C2}$ (mT)*	$\mu_0 H_C$ (mT)*	$\mu_0 H_{SH}$ (mT)*	$\lambda_L$ (nm)*	$\xi$ (nm)*	Type
Pb	7,1		n.a.	n.a.	80		48		I
<b>Nb</b>	<b>9,22</b>	<b>2</b>	<b>170</b>	<b>400</b>	<b>200</b>	<b>219</b>	<b>40</b>	<b>28</b>	<b>II</b>
NbN	17,1	70	20	15 000	230	214	200-350	<5	II
NbTiN	17,3	35	30				150-200	<5	II
<b>Nb<sub>3</sub>Sn</b>	<b>18,3</b>	<b>20</b>	<b>50</b>	<b>30 000</b>	<b>540</b>	<b>425</b>	<b>80-100</b>	<b>&lt;5</b>	<b>II</b>
V <sub>3</sub> Si	17								II
Mo <sub>3</sub> Re	15		30	3 500	430	170	140		II
<b>MgB<sub>2</sub></b>	<b>39</b>		<b>30</b>	<b>3 500</b>	<b>430</b>	<b>170</b>	<b>140</b>		<b>II- 2gaps</b>
<b>YBCO</b>	<b>93</b>		<b>10</b>	<b>100 000</b>	<b>1400</b>	<b>1050</b>	<b>150</b>		<b>d-wave</b>
<b>Pnictures</b> <b>Ba<sub>0.6</sub>K<sub>0.4</sub>Fe<sub>2</sub>As<sub>2</sub></b>	<b>38</b>				<b>900</b>	<b>756</b>	<b>200</b>		

\* @ 0K

## Transition normal => SC

- Saut sur chaleur spécifique (si  $B=0$ ) mais pas sur chaleur latente
  - => transition du 2nd ordre
  - contribution électronique change, pas celle du réseau cristallin
- Effet isotopique :
  - $T_c \sim 1/\sqrt{m}$  (lien avec réseau cristallin, mais pas changement de structure aux RX)
- e- : Ordre à longue portée :
  - Transition abrupte @  $T_c$  : bcp d'e- concernés
  - Effet de proximité (ds  $\xi$  à l'interface région normale/supra)
- Pas d'effets thermoélectriques dans les supras type I
  - Car paires de Cooper ne transportent pas d'entropie (mais vortex si !)
- Pas de changement ds l'absorp<sup>n</sup> lumière visible (liée à  $\rho_n$ )
  - mais bande d'abs vers  $10^{11} - 10^{12}$  Hz ( $\sim 10^{-3} - 10^{-4}$  eV  $\sim$  qqs K  $\sim T_c$ ) => gap supra
- Conductivité thermique ↓
  - Partie des e- qui assuraient la conductivité thermique maintenant sous forme de paires de Cooper
- Influence de l'état mécanique
  - Pression isostatique peut jouer sur  $T_c$  (e.g, SC organiques)
  - Déformation : joue sur l.p.m.  $\ell$  ( $\ell$  joue bcp sur les pptés supra : voir suite)



# LES THÉORIES

## Les + utilisées...

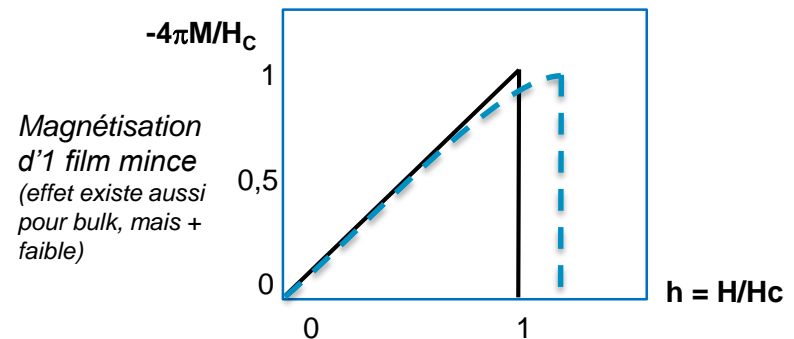
### ■ London (1935)

- Modèle 2 fluides, inspiré du comportement de l'He superfluide
- Théorie classique, suppose  $n_s$  uniforme
- Ne marche pas pour les films mince
- Valable  $\forall T$ , mais B faible; à B fort : comportement non linéaire
- Permet d'expliquer l'effet Meissner

### ■ Ginzburg Landau (1950)

- Introduit les aspects quantiques :  $\lambda$  fonction d'onde, paramètre d'ordre
- Introduit les comportements non-linéaires
- Développements valables **seul<sup>mt</sup> à  $T \ll T_C$**
- A. N. pas vraiment meilleures que London, mais meilleures prédictions pour films minces
- GLAC (Ginzburg-Landau-Abrikosov- Gor'kov) : développements de G.L. adaptés aux  $\kappa \gg 1,2$

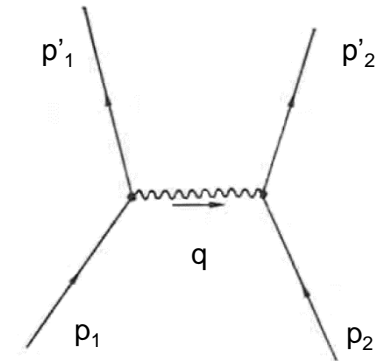
Les deux modèles restent « bas courant »



## La + complète...

### ■ BCS (Bardeen-Schrieffer-Cooper) : (1957)

- Théorie quantique, locale
- Généralement pas utilisée pour prédictions « ingénierie » : trop complexe,
- Paires = électrons de moments  $p$  et spins opposés (au temps  $T$ )  
(Aspect quantique : on ne peut pas parler d'e- individuels, système corrélé)
- 1 ! Fonction d'onde pour tous les e- supra, bcp d'échanges entre paires, couplage faible
- Permet d'expliquer tous les phénomènes observés autour de la supra



$$q = h\nu_q / s$$

Fréq,  
phonon

Vit, du son

## D'autres raffinements

### ■ Eliashberg

- Valide  $\forall T$
- Couplages fort (s'applique à Nb, bien que type II ?)

### ■ Eilenberg

- Théorie semi-classique, toujours pas valable à bas  $T$
- type II limite propre : tient compte des certaines inhomogénéités

### ■ RF :

- Réponse aux ondes EM ( $R \neq 0$ ) : Mattis-Bardeen ( $B$  faible)
- Fort courants ( $J \sim J_D$ ) : "non linear  $R_{BCS}$ " (clean type II)
- ....

### SC:

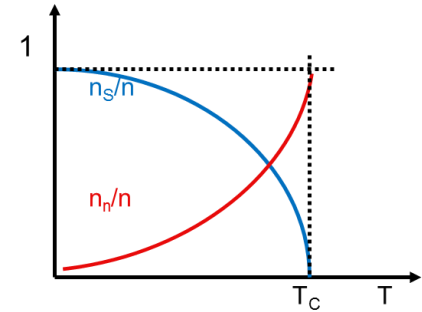
- Pas de théorie complète ☹️ 
- Bcp de développements particuliers
- Attention aux limites de validité
- $\exists$  Contradictions ds littérature
- Théo. parfois très loin du monde réel



## Modèle à 2 fluides

- La conductivité est assurée par deux composantes différentes

- $\vec{j} = \vec{j}_n + \vec{j}_s$
- Composante normale  $n_n/n$
- Composante superfluide  $n_s/n = 1 - n_n/n$



- E accélère seule la composante SC, la composante N est court-circuitée

- $J_s = n_s e v_s$
- $m \dot{v}_s = -e \vec{E}$  *eq. Dynamique des e- (accélération par  $\vec{E}$ )*

- 1<sup>ère</sup> Equation de London (eq. de Maxwell + 2 fluides) *Analogue de la Loi d'Ohm pour les supras*

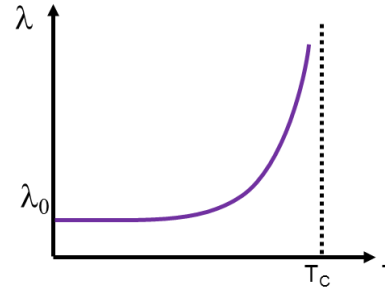
$$\boxed{\frac{d\vec{J}_s}{dt} = \frac{e^2 n_s}{m} \vec{E} = \lambda_L^2 \vec{E}} \quad \text{ou} \quad \vec{J}_s = \frac{\vec{A}}{\mu_0 \lambda_L^2} \quad \longrightarrow \quad J(x) = \frac{H(0)}{\lambda_L} e^{(-x/\lambda_L)}$$

- 2<sup>ème</sup> Equation de London (rot 1<sup>ère</sup> eq. + Maxwell) *Diamagnétisme parfait quand  $x \gg \lambda_L$*

$$\nabla \times \frac{d\vec{J}_s}{dt} = \nabla \times \lambda_L^2 \vec{E} \quad \nabla \times \vec{H} = \vec{J}_s \quad \longrightarrow \quad \boxed{\nabla^2 \vec{H} = \frac{\vec{H}}{\lambda_L^2}} \quad \longrightarrow \quad H(x) = H(0) e^{(-x/\lambda_L)}$$

$$\nabla \times \vec{E} = -\mu_0 \frac{d\vec{H}}{dt}$$

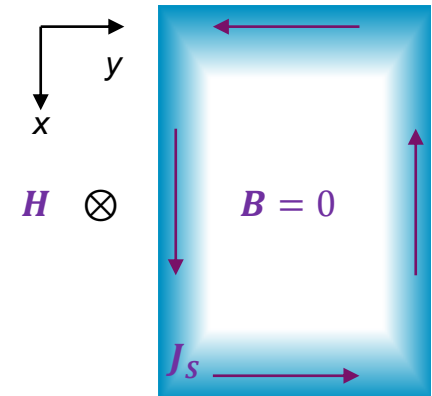
$$\lambda_L = \left( \frac{m}{e^2 n_s(T) \mu_0} \right)$$



Remarque :  $\lambda_L \leq$  erreur d'un facteur  $\sim 2$  par rapport aux valeurs  $\lambda$  mesurées exp

## London permet d'expliquer l'état Meissner

- Le champ pénètre sur  $\lambda_L$
- Les supercourants écrantent complètement  $H_0$
- $B = 0$  au cœur du supra
- NB. La densité de courant maximum ne peut pas excéder  $J_D$  (le courant de désappariement)



$$J_D(T) = \frac{H_C(T)}{\lambda_L(T)} \sim J_0 \left( 1 - \frac{T^2}{T_C^2} \right)^{3/2}$$

$$\vec{B} = B(0) e^{(-x/\lambda_L)}$$

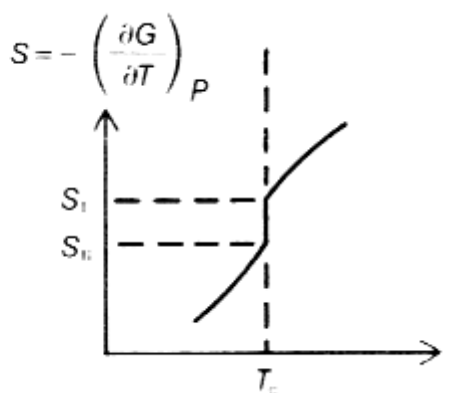
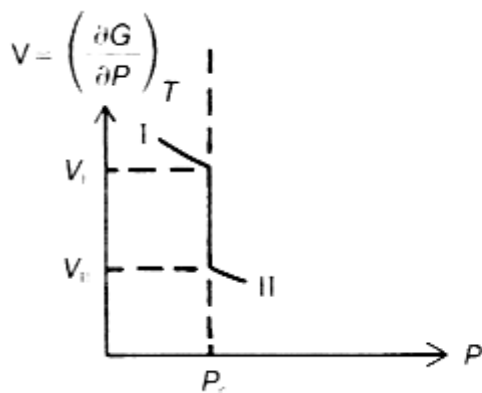
Remarques :

- $H_C$  : champ critique thermodynamique
- Peut être défini comme le champ suffisant pour briser les paires de Cooper

## Rappels sur les transitions du 1<sup>er</sup>/2<sup>nd</sup> ordre

### ■ Supras

- transition du 2<sup>nd</sup> ordre si  $B = 0$
- transition du 1<sup>er</sup> ordre si  $B \neq 0$

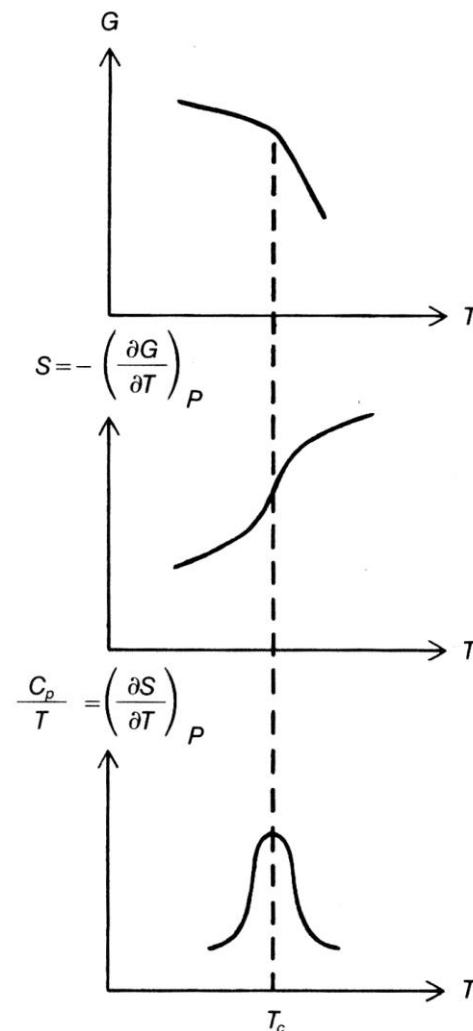


Comportement de l'enthalpie libre (Gibbs) et de ses dérivées lors d'une transition de phase du 1<sup>er</sup> ordre.

**Transitions du premier ordre :** énergie libre discontinue, systèmes hétérogènes, toutes les parties ne transigent pas en même temps, e.g. ébullition : mélange liquide – gaz

**Transitions du second ordre :** dérivée énergie libre discontinue, systèmes homogène, toutes les parties transigent en même temps, e.g. transition ferromagnétique, transition nématique

**Les phases avant et après transition ont souvent des symétries différentes.**



Comportement de enthalpie libre (Gibbs) pour une transition du 2<sup>nd</sup> ordre.

## Théorie de Jauge / approche de Landau / champ moyen

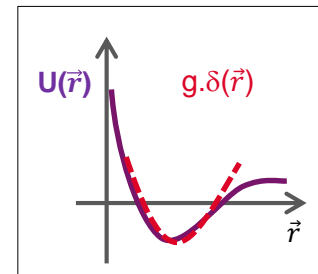
(Approche universelle pour les phénomènes critiques, e.g. transitions de phase)

### ■ Trouver un paramètre d'ordre $\psi$ macroscopique

- Décrit les degrés de liberté du point critique
- Guidé par des considérations de symétrie du système (théorie de Jauge)
  - Théorie de Jauge : théorie de champ basée sur 1 gpe de symétrie locale (gpe de Jauge) qui définit une « invariance de Jauge ». S'applique bien aux transitions de phase : généralement 1 coté est symétrique et il y a brisure de symétrie après la transition

### ■ Construire énergie libre $F[\psi]$ effective (approxim<sup>n</sup> champ moyen)

- On suppose fluctuations spatiales et thermo de  $\psi$  petites devant taille système
- On peut remplacer  $U(\vec{r})$  par  $g\delta(\vec{r})$  + perturbation (faible d° dans les développements en  $\psi$ )
- On fixe  $g$  = potentiel effectif qui a les mêmes propriétés locales dans la gamme d'nrj considérée
  - Soit par intuition
  - Soit par minimisation de l'nrj libre => on trouve la configuration fondamentale  $\psi_0$
- Permet de reconstruire le diagramme de phase
- $F[\psi]$  doit respecter les symétries microscopiques du système (« Invariant de Jauge »)
- Équivalent à un Hamiltonien effectif dit de « Ginzburg-Landau »



$\psi = 0$  si  $T > T_c$ ,  $\psi \uparrow \uparrow$  si  $T \rightarrow 0$ , et  $\psi \sim 0$  à  $T_c \Rightarrow$  D.L.

$$\mathcal{F}_s(T, \Psi, \vec{A}) = \mathcal{F}_n(T) + a(T - T_c)|\Psi|^2 + \frac{b}{2}|\Psi|^4 + \frac{1}{2m^*} \left| \left( \frac{\hbar}{i} \vec{\nabla} - e^* \vec{A} \right) \Psi \right|^2 + \frac{B^2}{2\mu_0} - \vec{H}_0 \cdot \vec{B}$$

### Remarques

- Fluctuations spatiales de  $n_s$  prises en compte dans le terme  $i\hbar\vec{\nabla}$
- Termes impairs non nuls s.si transition 1<sup>er</sup> ordre (champ H)
- $F_0$  doit être « invariante de Jauge » (invariante par/ aux opérations de symétrie de la phase désordonnée)
- A champ nul,  $J=0$  et  $\psi$  est réel  $\Rightarrow$  on en déduit  $\xi$
- Conditions aux limites : annuler les termes de surface ( $\mathbf{J}=0$ ,  $\mathbf{B}-\mathbf{H}=0$ )

$$\psi(\mathbf{r}) \longrightarrow \psi(\mathbf{r}) \exp -i \frac{e^*}{\hbar c} f(\mathbf{r})$$

$$\Psi = |\Psi| e^{i\theta} \text{ avec } |\Psi| = \sqrt{n_s}$$

$$\alpha \Psi + \beta \Psi |\Psi|^2 + \frac{1}{2m} \left[ \frac{\hbar}{i} \vec{\nabla} - q \vec{A} \right]^2 \Psi = 0$$

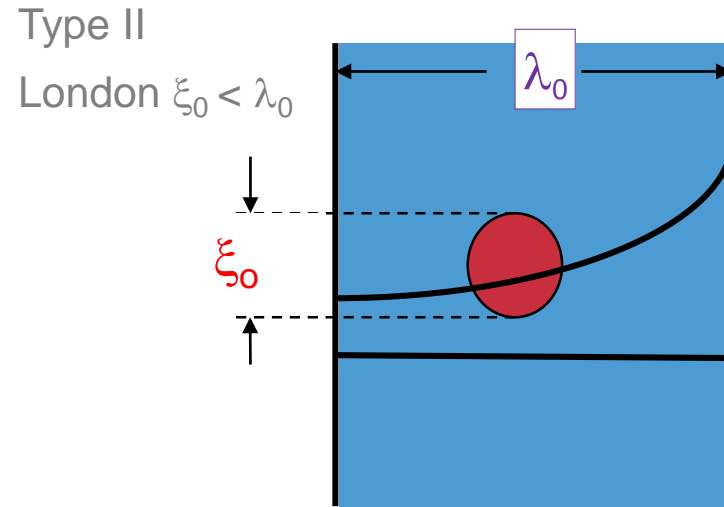
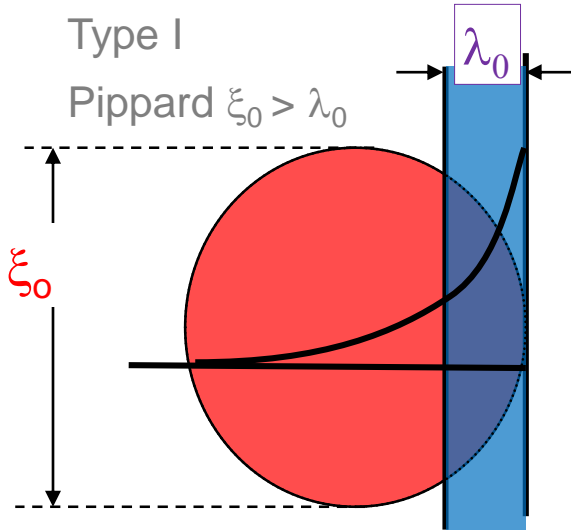
$$\vec{J} = \frac{i\hbar q}{2m} [\Psi \vec{\nabla} \Psi^* - \Psi^* \vec{\nabla} \Psi] - \frac{q^2 \vec{A}}{m} |\Psi|^2$$

Equations de Ginzburg Landau

*Oups ! Des Eq. diff. non linéaires et couplées...  
 $\Rightarrow$  Traitements numériques*

- Rend compte de l'effet Meissner pour supras I et II (supercourants), quantification du flux, effets quantiques macroscopiques...), donne un calcul pour estimer  $\lambda$  et  $\xi$

*Minimisation.  
Calculs longs  
et compliqués*



■  $\xi = \xi_0$  si  $\ell \rightarrow \infty$  sinon

$$\frac{1}{\xi} = \frac{1}{\xi_0} + \frac{1}{\ell}$$

■ si  $\ell \searrow$  alors

■  $\xi \searrow$

■  $\lambda \nearrow$

■  $\kappa \nearrow \nearrow$

■ et

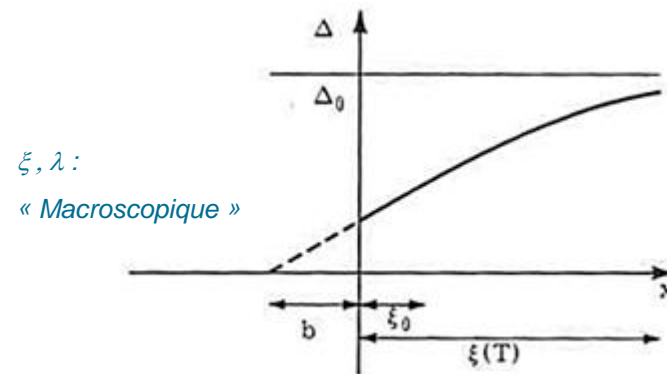
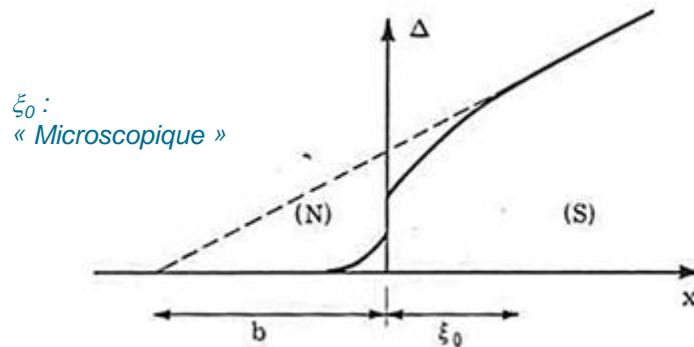
$$\lambda = \lambda_L \cdot \left( \frac{\xi_0}{\xi} \right)^{\frac{1}{2}} = \lambda_L \cdot \left( 1 + \frac{\xi_0}{\ell} \right)^{\frac{1}{2}}$$

$\ell$  libre parcours moyen

En jouant sur  $\ell$  (état cristallin, impuretés) on peut modifier les propriétés du supra

## Supras « sales » : on peut généraliser G.L. $\forall T$

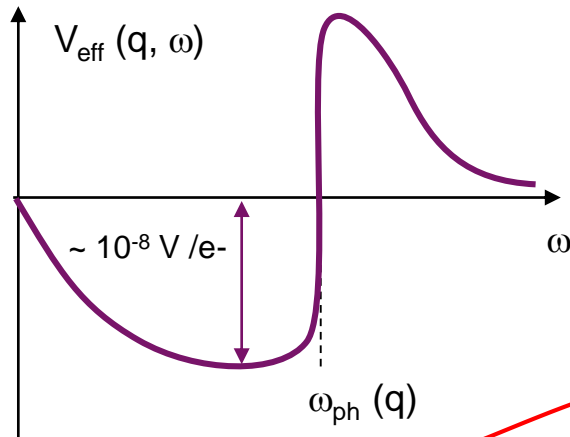
(i. e. : à l'échelle GL  $\sim \xi$ ,  $\lambda \gg \xi_0$ , on peut considérer que  $\psi$ ,  $\Delta$  varient linéairement)



- Cas très inhomogènes (e.g. H-H<sub>C2</sub>, ou impuretés magnétiques...)
  - H~H<sub>C2</sub> (quand H  $\searrow$ ) : phase supra vient d'apparaître,  $\Psi$  est petit
    - Le terme non lin. en  $|\psi|^4$  peut être négligé, il ne reste plus que des termes en  $|\psi|^2$
  - L'effet d'écrantage peut également être négligé (on est  $\gg H_{C1}$ ) donc  $\vec{A} \sim \vec{A}_{appl}$ 
    - les deux éq de GL deviennent découplées
    - La minimisation de l'nrj libre devient :  $\xi^2(T)(\nabla + ik_A)^2\psi(\vec{r}) = -\psi(\vec{r})$
    - $\sim$  éq. De Schrödinger (part masse 2m, ch. 2e) : sol<sup>ns</sup> de la MQ marchent.

**Modèle principal  
valable pour les  
aimants  
(mais pas SRF)**

- Pour traiter les autres cas : de proches en proches, solutions de continuités, méthodes variationnelles, etc...
  - Par ex : SC « sale » : invariance translationnelle est perdue mais...
    - On fait une approximation de + (moyenne sur toutes les impuretés)
    - On traite les potentiels dus aux impuretés comme des « perturbations faibles »  $\Rightarrow$  GLAC



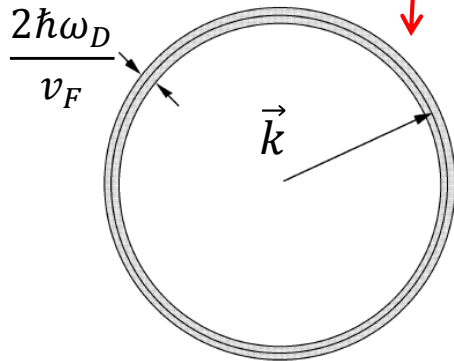
## Interaction effective

(écranages e- et noyaux, vibrations du réseau, etc...)

- Seuls les électrons près du niveau de Fermi voient une interaction positive => états liés
  - Simplification :
    - e- dont l'énergie est  $\varepsilon_F \pm 2\hbar\omega_D$  sont soumis à  $-V/2$ , sinon 0

- Fonction d'onde variationnelle ( $H=H_0 + V$ )

$$|\psi\rangle = \prod_k (u_k + v_k c_{k,\uparrow}^\dagger \cdot c_{-k,\downarrow}^\dagger) |0\rangle$$



- Etat supraconducteur : condensation des paires de Cooper (~bosons)
- Blocage de la phase
- Le nombre de particules n'est pas fixé (principe d'incertitude)
- Existence d'un gap  $\Delta \sim \langle c_{k,\uparrow}^\dagger \cdot c_{-k,\downarrow}^\dagger \rangle$

**Pour la suite, on reviendra au formalisme G.L.**

Le  $\psi$  (param. d'ordre) de GL...  
Même symétrie, mais pas tout à fait  
même valeur que  $\Delta_{\text{BCS}}$

## Inertie des paires de Cooper : écrantage du champ imparfait dans $\lambda$

- Bande de conduction :  $e^-$  normaux accélérés et dissipent  $e^-$  normaux : e.g. paires thermiquement cassées à  $T > 0$  K
- Rappel : métal normal dans AC

$$Z_n = \frac{1 - i}{\sigma_n \delta} = (1 - i) \frac{\rho_n}{\delta}$$

$\sigma_n = 1 / \rho_n =$  conductivité DC @ T  
 $\delta =$  profondeur de peau (skin depth)

- Extension aux supras :

- Modèle à 2 fluides (London) :  $\sigma_1 - i\sigma_2$  à la place de  $\sigma_n$
- BCS => on peut évaluer  $\sigma_1/\sigma_n$  et  $\sigma_2/\sigma_n$  (intégrales de Mattis et Bardeen)
- Elle peuvent être calculées numériquement

$$\frac{R_s}{R_n} \sim \frac{1}{\sqrt{2}} \frac{\frac{\sigma_1}{\sigma_n}}{\left(\frac{\sigma_2}{\sigma_n}\right)^{\frac{3}{2}}}$$

pour  $T < T_c/2$

$$\frac{\sigma_1}{\sigma_n} \sim \left[ \frac{\frac{2\Delta}{K_B T}}{\left(1 + e^{-\Delta/K_B T}\right)^2} \right] e^{-\Delta/K_B T} \ln \frac{\Delta}{\hbar\omega}$$

et

$$\frac{\sigma_2}{\sigma_n} \sim \frac{\pi\Delta}{\omega} \tanh \frac{\Delta}{2K_B T}$$

- Résistance de surface d'un supra en RF

$$R_{BCS} = A(\lambda_L^4, \xi_F, \ell, \sqrt{\rho_n}) \frac{\omega^2}{T} e^{-\Delta/KT}$$

Valable seulement à bas champ, au delà, corrections nécessaires

**FIN DE LA PARTIE I**

**A SUIVRE :**

**PARTIE II : L'ÉTAT MIXTE**